

PATENT ABSTRACTS OF JAPAN

(11)Publication number : 09-016168
 (43)Date of publication of application : 17.01.1997

(51)Int.Cl. 610H 1/00
 610H 1/00
 H03M 7/46

(21)Application number : 07-306780 (71)Applicant : VICTOR CO OF JAPAN LTD
 (22)Date of filing : 30.10.1995 (72)Inventor : SHISHIDO ICHIRO

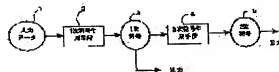
(30)Priority
 Priority number : 07129017 Priority date : 28.04.1995 Priority country : JP

(54) COMPRESSING DEVICE AND DECODING DEVICE FOR MUSICAL PERFORMANCE INFORMATION

(57)Abstract:

PROBLEM TO BE SOLVED: To efficiently compress and expand the data of the musical performance information by an LZ method.

SOLUTION: Input data 1 in SMF format are analyzed by a primary code generating means 2 and the musical performance information is separated into at least an interval, strength, length, and other information to generate a primary code 3 having respective pieces of information arranged in independent areas. The codes of the respective areas of the primary code 3 are compressed by the LZ method through a secondary code generating means 4 to generate a secondary code 5. The primary code generating means 2 rearranges six kinds of primary compressed codes, i.e., a note A code indicating one note, a controller „code, a duration code, a node number code, a velocity code, and a controller code by a code arranging means and outputs them as the primary code 3 to the secondary code generating means 4, which performs secondary compression. The data after the secondary compression are processed through the secondary decoding of a secondary code decoding means 23 and then a primary code decoding means performs primary decoding.



LEGAL STATUS

[Date of request for examination] 30.09.1998
 [Date of sending the examiner's decision of rejection]
 [Kind of final disposal of application other than the examiner's decision of rejection or application converted registration]
 [Date of final disposal for application]
 [Patent number] 3246301
 [Date of registration] 02.11.2001
 [Number of appeal against examiner's decision of rejection]
 [Date of requesting appeal against examiner's decision of rejection]
 [Date of extinction of right]

(書誌+要約+請求の範囲)

- (19)【発行国】日本国特許庁(JP)
 (12)【公報種別】公開特許公報(A)
 (11)【公開番号】特開平9-16168
 (43)【公開日】平成9年(1997)1月17日
 (54)【発明の名称】演奏情報圧縮装置及び演奏情報復号装置
 (51)【国際特許分類第6版】

G10H 1/00
 H03M 7/46 102

【F1】

G10H 1/00 Z
 102 Z
 H03M 7/46 9382-5K

【審査請求】未請求

【請求項の数】9

【出願形態】FD

【全頁数】18

(21)【出願番号】特願平7-306780

(22)【出願日】平成7年(1995)10月30日

(31)【優先権主張番号】特願平7-129017

(32)【優先日】平7(1995)4月28日

(33)【優先権主張国】日本(JP)

(71)【出願人】

【識別番号】000004329

【氏名又は名称】日本ビクター株式会社

【住所又は居所】神奈川県横浜市神奈川区守屋町3丁目12番地

(72)【発明者】

【氏名】穴戸 一郎

【住所又は居所】神奈川県横浜市神奈川区守屋町3丁目12番地 日本ビクター株式会社内

(74)【代理人】

【弁理士】

【氏名又は名称】二瓶 正敬

(57)【要約】

【課題】LZ法により演奏情報のデータ量を効率的に圧縮し、伸長する。

【課題】LZ法により演奏情報のデータ量を効率的に圧縮し、伸長する。
 【解決手段】SMFフォーマットの入力データ1は1次符号生成手段2により解析され、演奏情報が少なくとも音程と、強さと、長さその他の情報に分離され、各情報がそれぞれ独立した領域に配置した1次符号3が生成される。この1次符号3の各領域の符号は2次符号生成手段4によりLZ法で圧縮され、2次符号5が生成される。また、1次符号生成手段2では1つの音符を示すノート、符号、コントロール、符号、デュレーション符号、ノートナンバ符号、ベロシティ符号及びコントロール符号の6種類の1次圧縮符号が符号配置手段19により並べ換えられ、1次符号3として2次符号生成手段4に出力され、2次符号生成手段4により2次圧縮される。2次圧縮されたデータは2次符号復号手段23により2次復号され、次いで1次符号復号手段24により1次復号される。

【特許請求の範囲】

【請求項1】演奏情報を少なくとも音程の情報と、音の強さの情報と、音の長さの情報と、その他の情報に分離し、前記各情報をそれぞれ独立した領域に配置した1次符号を生成する1次符号生成手段と、前記1次符号生成手段により生成された1次符号の各領域の情報をLZ法により圧縮する2次符号生成手段とを有する演奏情報圧縮装置。
 【請求項2】前記1次符号生成手段は、各イベント間の相対時間の公約数及び各音符の長さの公約数を算出し、各イベント間の相対時間及び各音符の長さの値をこれらの公約数で除算した後符号化することを特徴とする請求項1記載の演奏情報圧縮装置。
 【請求項3】前記1次符号生成手段は、各音符の音程情報をそれ以前に出現した音符の音程の数値を使って一定の関数式に従って算出した数値と実際の音程の数値との残差で表すことを特徴とする請求項1又は2記載の演奏情報圧縮装置。
 【請求項4】前記1次符号生成手段は、各音符の強さ情報をそれ以前に出現した音符の強さの数値を使って一定の

関数式に従って算出した数値と実際の強さの数値との残差を表すことを特徴とする請求項1乃至3のいずれか一つに記載の演奏情報圧縮装置。

【請求項5】前記1次符号生成手段は、特定の種類のイベントのパラメータ値をそれ以前に出現した同種類のイベントのパラメータ値を使って一定の関数式に従って算出した数値と実際のパラメータ値との残差を表すことを特徴とする請求項1乃至4のいずれか一つに記載の演奏情報圧縮装置。

【請求項6】前記1次符号生成手段は、前記各情報を当該領域においてトラック順に配置したことを特徴とする請求項1乃至5のいずれか一つに記載の演奏情報圧縮装置。

【請求項7】前記1次符号生成手段は、前記各領域をデータの性質が似ている領域同志が近くなるように配置したことを特徴とする請求項6記載の演奏情報圧縮装置。

【請求項8】演奏情報を少なくとも音程の情報と、音の強さの情報と、音の長さの情報と、その他の情報に分離し、前記各情報をそれぞれ独立した領域に配置した1次符号を復号する演奏情報復号装置であって、供給される前記1次符号を演奏情報に復号する1次符号復号手段を有することを特徴とする演奏情報復号装置。

【請求項9】演奏情報を少なくとも音程の情報と、音の強さの情報と、音の長さの情報と、その他の情報に分離し、前記各情報をそれぞれ独立した領域に配置した1次符号を生成し、この1次符号の各領域の情報をLZ法により圧縮した2次符号を復号する演奏情報復号装置であって、前記2次符号を前記1次符号に復号する2次符号復号手段と、前記2次符号復号手段により復号された1次符号を演奏情報に復号する1次符号復号手段とを、有することを特徴とする演奏情報復号装置。

示す説明図、図8は図2のノート、符号生成手段の処理を説明するためのフローチャート、図9は図2のノート、符号生成手段により生成されるノート、符号を示す説明図、図10は図2のデュレーション符号生成手段の処理を説明するためのフローチャート、図11は図2のデュレーション符号生成手段により生成されるデュレーション符号を示す説明図、図12は図2のノートナンバ符号生成手段により生成されるノートナンバ符号を示す説明図、図13は図2のベロシティ符号生成手段により生成されるベロシティ符号を示す説明図、図14は図2のコントローラ符号生成手段により生成されるベロシティ符号を示す説明図、図15はSMFの連続イベントブロックを示す説明図、図16は本実施例の連続イベントブロックを示す説明図、図17は図16の連続イベントブロックの効果を示す説明図、図18は図2の符号配置手段により並べ替えられた1次符号を示す説明図である。

図19に示すようなSMFであり、SMFのフォーマットは、タイム、ステータス、ノートナンバ及びベロシティにより構成されている。ここで、本明細書では「発音開始イベント」を「ノートオンイベント」、「発音停止イベント」を「ノートオフイベント」と呼ぶ。また「ノートオンイベント」と「ノートオフイベント」を合わせて「ノートイベント」と呼び、それ以外の「イベント」を「コントロールイベント」と呼ぶ。

図20において、SMFフォーマットの入力データ1は1次符号生成手段2により解析され、少なくとも演奏情報を音程と、強さと、長さその他の情報に分離され、各情報がそれぞれ独立した領域に配置した1次符号3が生成される。この1次符号3の各領域の符号は2次符号生成手段4により法で圧縮され、2次符号5が生成される。なお、このように圧縮されたデータは図20～図28に詳しく示す復号装置により法で復号され、音程と、強さと、長さその他の情報に基づいて音符が復元される。

図29に示すように、チャネル分離手段11と、解析手段12と、ノート、符号生成手段13と、コントローラ、符号生成手段14と、デュレーション符号生成手段15と、ノートナンバ符号生成手段16と、ベロシティ符号生成手段17と、コントローラ符号生成手段18と符号配置手段19で構成され、この例では1つの音の6種類の1次圧縮符号が符号配置手段19により並べ換えられ、1次符号3として2次符号生成手段4に出力される。2次符号生成手段4により2次圧縮される。

図30に示すように、SMF1のトラックに複数チャネルのイベントが含まれているか否かのチェックを行い、もし複数チャネルのイベントが含まれている場合は、1トラックの中に1チャネルのイベントのみが含まれるように、トラックの分割を行う。そして、図3のようなトラックとチャネル番号の対応を表したチャネルマップを作成し、これ以降の処理はトラック単位で行う。ここで、SMFのイベントの大半はチャネル情報を含んだものであるが、このようにトラック分割とチャネルマップの作成を行うことにより、個々のイベントのチャネル情報を省略することができ、データ量を削減することができる。

図31に示すようなコンを削減することができる。

【0016】解析手段12では図4に示す処理を行い、トラック毎に図5に示すようなノートテーブルと図6に示すようなコントローラテーブルを作成する。まず、SMFから順次、タイムとイベントを読み出し(ステップS1)、タイムからトラックの先頭を基準としたイベントの時間(以下では単に、イベントの時間と呼ぶ)を計算する(ステップS2)。次にイベントを解析し、イベントを「ノートオンイベント」、「ノートオフイベント」、「コントロールイベント」の3種類に分類する。【0017】そして、「ノートオンイベント」の場合には図5に示すようなノートテーブルにノートナンバ(音符の音程)とベロシティ(音符の強さ)を登録し(ステップS3→S4)、「ノートオフイベント」の場合には図6に示すようなコントローラテーブルに登録する(ステップS5→S6)。また、「コントロールイベント」の場合には図6に示すようなコントローラテーブルに登録し(ステップS7)、このようにして演奏情報毎にノートテーブルとコントローラテーブルを作成する(ステップS8→S1)。

【0018】ここで、ノートテーブルは図5に示すようにトラックのノート(音符)イベント情報を時間順に並べたものであり、コントローラテーブルは図6に示すように、トラックのコントローラ(音符以外)の情報を時間順に並べたものである。また「ノートオンイベント」の場合にノートナンバとベロシティを書き込む際に、イベントの時間をノートテーブルの所定の欄に書き込み、また、ノートテーブルの「ノートオフ参照欄」を初期値として「0」にセットする。【0019】また、イベントがノートオフであれば、ノートテーブルを先頭から走査して、ノートオフイベントの時間よりも早く、かつノートナンバが同じで、かつノートオフ参照欄が「0」にセットされているノートを選び出し、対応させる。そして対応するノートオンイベントの時間Tonとノートオフの時間Toffとの差(Toff - Ton)を「デュレーション(音符の長さ)」とし、ノートテーブルの「デュレーション」欄に登録するとともに、「ノートオフ参照欄」を「1」にセットする。【0020】ここで、「デュレーション」という概念はSMFにはないが、これを用いることによりノートオフイベントを省略できるので、データ容量が削減できる。SMFにおいて、1つの音符は図7のように1つのノートオンイベントと1つのノートオフイベントの組で表され、また、ノートオフイベントの前の、タイムがデュレーションに相当する。ノートオフイベントとノートナンバは、ノートオンイベントとの対応を取るために必要であり、デュレーションという概念を使ってノートオンとノートオフの対応を取っておけば不要である。

【0021】また、ノートオフイベントのベロシティは、MIDIデータを受け取るほとんどの音源が実際にはこの値を使用しないので、削除しても問題ない。したがって、ノートオフイベント(3バイト)を省略することにより、場合によっては、タイのデータ量が減ることもあるが、いずれにしてもノートオフイベント省略の効果の方が大きく、1つの音符につき最大3バイト分を削減することができる。その結果、1つの楽曲の中に1万個程度の音符が含まれている場合も珍しいので、この場合には最大30Kバイトの削減ができることになり、圧縮効果が大きい。

【0022】イベントがノートオン、ノートオフ以外のイベントであれば、イベントの時間とイベントの内容をコントローラテーブルに登録し、このようにしてノートテーブルにはNA個のイベントが登録され、コントローラテーブルにはNB個のイベントが登録される。

【0023】次に、ノート、符号生成手段13とコントローラ、符号生成手段14について説明する。この2つは、同じような処理内容であるので、以下ではノート、符号生成手段13を例に取って説明する。ノート、符号生成手段13は図8に示すように、まず、前述したノートテーブルに登録された各イベントに対し、その時間T[i]と1つ前のイベントの時間T[i-1]との差、T[i] = (T[i] - T[i-1])を計算し(ステップS11)、ノートテーブルの所定の欄に書き込む(但し、i=1となるT[0] = 0)。すなわち、各ノートイベント間の相対時間が求まる。

【数3】 $vel[i] = g(vel[i-1], vel[i-2], \dots, vel[i-T]) + \dots[i] \dots (3)$

[数3] $\text{vel}[i] = \text{g}(\text{vel}[i-1], \text{vel}[i-2], \dots, \text{vel}[i-T]) + \dots, i[1] \dots (3)$

次にコントローラ符号生成手段18について説明する。コン
【04】値の数をNAとして、 $i=(T+1), (T+2), \dots$, NA【0404】次に登録されたイベントの情報を経時間間隔に並べたも
但し、イベントの数とNAを一致して、図6に示すコントローラデータ(データバイト)で構成される。パラメタ
トローラ符号は図14に示すように、イベントの種類を表すフラグFとパラメータ(データバイト)で構成される。パラメタ
である。各コントローラ符号は、イベントの種類を表すフラグFが「通常イベント」と「連続イベント」の2つのタイプ
の偶数はイベントの種類により異なる。イベントの種類は大きく分けて「通常イベント」に設定されているので、SMFと目標のランニ
がある。フラグFの最上位ビット「0」、パラメータの最上位ビットが「0」に設定されていることが可能になっている。
【0404】ここで、SMFでイベントの種類をあわらすのに、イベントのMIDIステータスが使われている。一般的に使用
される値は、8n(henx), 9n(henx), 8n(xhen), 8n(henx), 8n(henx), 8n(henx), F0(henx), FF(henx)のいずれかである(た
だし、n=0-Fでは、nはチャネル番号である。「通常イベント」は、上記MIDIステータスからノートオン8n(henx)とノート
オフ8n(henx)を除くのものであるが、本発明では前述したようにチャネル番号を表現する必要が無いので、「通常イベ
ント」のフラグの種類は7種類となる。従ってMIDIステータスに比べフラグは同じ回数になる確率が高く、乱法を用いたデ
データの圧縮率が高まる。「通常イベント」の符号は、フラグFの後には、SMFのMIDIステータス1バイトを除いたデー
タの長さによって、不定長で連続して出現し、各々のイベントのパラメータ値(デー
タ)が、その後に続く。このように、不定長のイベントデータが、ランダムに発生する。

場の圧縮率が高まる。「通常イベント」の符号は、プログラムの後に、通常イベントのプログラムのイベントのイベントのパラメータ値（デフォルト）を並べたものである。特定の種類のイベントが一定数以上連続して出現し、各々のイベントのパラメータ値（デフォルト）がほぼ一定の規則で変化する部分が存在することが多い。例えば「ピッチホールチェーン」イベントが使われている部分である。このイベントは、音符の音程を微妙に変えて音楽的な表現力を高めるものでもあり、その性質上パラメータ値に連続したイベントプロットが呼ぶ。例えば「ピッチホールチェーン」を取り上げると、これに限定されるが、これに限定されるパラメータ値が異なる。

[illegible][illegible]

[0046]
[数4] $p[i] = h(p[i-1], p[i-2], \dots, p[i-U]) + s_i \cdots (4)$
[数4] $p[i] = h(p[i-1], p[i-2], \dots, p[i-U]) + s_i \cdots$ NC[0047]関数 $h()$ には種々のものが考
えられ、連続イベントブロックのイベント数をNCとして $i=(U+1), (U+2), \dots$, NC[0047]関数 $h()$ には種々のものが考
えられるが、なるべく同じ値の、 s_i が繰り返して出現するようなものを選ぶことにより、2次符号生成手段4において効
率の良い圧縮が可能となる。一例として(5)式のような関数を使った場合の効果の説明をする。これは $U=1$ であり、1
次の差分をとることを意味する。

【0048】

[illegible][illegible][illegible]

[0053]SMFにおいて、各々のメモリのデータ量は、 $(1+3) \times 50 \times 2 = 400$ バイトである。しかし同一メモリ間の全てのタイムとペロシティが全て同じならば、同一データパターンの長さは400バイトになる。しかも同一メモリ間の全てのタイムとノートオフステータスが異なっているとすると、SMFで同一データパターンの最大長は、ノートオフステータス、ノムとノートオン時のペロシティが異なるということとなり、その場合、同一データパターンの最大長は、 $\frac{400}{\text{最小値}} = 800$ となる。

また、このようにして求めた結果を比較するに際し、図6(イ)～(エ)及び表7(イ)～(エ)の結果と比較したところ、図6(イ)～(エ)及び表7(イ)～(エ)の結果より、本実施形態における図9(イ)～(エ)及び表8(イ)～(エ)の結果の方が優れていることが確認された。

【0067】次に処理トラック番号jのノート、符号の最大公約数、 T_{sn} と、コントロール、符号の最大公約数、 T_{sc} とデュー
レーション符号の最大公約数 D_s を読み出す(ステップS122)。そして、番目のノート、符号、 $T_{an}[j]$ と番目のコント
ロール符号の最大公約数 D_s を読み出し、(7)式のように各々最大公約数、 T_{sn} 、 T_{sc} を乗じて、 $Tn[j]$ 、 $Tc[k]$ を算出する(ステ
ップS123)。

ツプS123)。
「 $Tn[u] = \dots, Tan[j], x \dots Tsn, Tc[k] = \dots Tac[k] \times \dots Tsc \dots$ 」(7)
[0068]さらに、(8)式のようにトラックの先頭を基準とした時刻 $Tn[u]$ 、 $Tc[k]$ に変換する(ステップS124)。
 $Tn[u] = Tn[u-1]+t$ 、 $Tc[k] = Tc[k-1]+t$ 、 $Tc[k]$ ただし、 $Tn[0]=Tc[0]=0 \dots$ (8)
 $Tn[u]$ と $Tc[k]$ は、 $Tn[u]$ と $Tc[k]$ の算出は行わず、ま
な。ステップS123、S124では、ノート終了フラグがセットされている場合には、 $Tc[k]$ 、 $Tc[k]$ の算出は行われない。
た、コントロール終了フラグがセットされている場合には、 $Tc[k]$ 、 $Tc[k]$ の算出は行われない。
す。コントロール終了フラグの有無をチェック(ステップS125)、出力すべきデータがある場合には
S126)次に、出力すべきノートイベントの有無をチェック(ステップS126)。なお、ステップS125、S126については後述(図24の
SMFとしてノットアウトイベントを出力する(ステップS126)。なお、ステップS125、S126については後述(図24の
SMFとしてノットアウトイベントを選択を行う。まず、コントロール終了フラグをチェック(ステップS127)、セッ
ト済みである場合には、図24に詳しく示すノットアウトイベント番号処理を行う(ステップS129)、セッ
トされていない場合には図24に詳しく示すコントロール終了フラグチェックを行う(ステップS130)。この2つのフラグ共にセッ
トされている場合には図27に詳しく示すコントロール終了フラグ番号処理を行う(ステップS131)、 $Tn[u]$ が小さければノットイベント番号処理(ステップS132)
されたい場合には $Tn[u]$ と $Tc[k]$ を比較し(ステップS133)、 $Tn[u]$ が小さければノットイベント番号処理(ステップS134)を行
う。そうでなければコントロール終了フラグ番号処理の後には、処理トラックの全てのノットイベントを処理したか否かをチェック(ステッ
クメント1)ノットイベント番号処理の後には、処理トラックの全てのノットイベントを処理したか否かをチェック(ステップS138)に進み、そ
でなければ変数を1つインクリメントして(ステップS134)、ステップS123に戻る。また、コントロール終了フラグ番号処理の後には、
処理トラックの全てのコントロール終了フラグ番号処理を行ったか否かをチェック(ステップS135)、処理が終了してい
ない場合にはコントロール終了フラグ番号処理を行って、その後、ステップS138に進む。そうでなければ変数kを1つ
インクリメントして(ステップS137)、ステップS123に戻る。
[0072]ステップS138ではノート終了フラグコントロール終了フラグの有無を確認し、そうであればステップS123に戻ってこのトラ
ック両方がセットされている場合にはこのトラック番号処理を終了し、そうでなければステップS123に戻ってこのトラ
ック番号処理を繰り返す。

両方がセットされている場合にはこのトラック復号処理を終了し、ステップS140に進む。
復号処理を繰り返す。
図24に詳しく示すノートイベント復号処理では、まず、i番目のノートナンバ符号、 $[[i]]$ を読み取り、圧縮処理に
関与するノートナンバ、 $sum[i]$ を算出する(ステップS141)。

【0073】図24に詳しく示すノートイベント復号処理では、まず、描画位置情報を用いて、座標変換関数を用いて(9)式に従ってノートナンバnum[i]を算出する(ステップS141)。

【0074】 S は関数 $f()$ の変数の個数 …(9)

【0074】
【数7】
$$f[j] = f[j-1] \text{ num}[j-2] + \dots + \text{num}[j-S] + 1 \quad (j > S) \quad \text{num}[j] = 1 \quad (j \leq S)$$
ただし、 S は関数 $f()$ の変数の個数 … (9)

【数7】

$$\text{num}[j] = (\text{num}[j-1], \text{num}[j-2], \dots, \text{num}[j-S]) + \text{num}[j] \quad (j > S) \quad \text{num}[j] = \text{num}[j] \quad (j \leq S)$$
ただし、S は数8のSと同じ。
【0075】同様に、j番目のペロシティ符号、 $\text{pos}[j]$ を読み取り、圧縮処理において使用した関数g0を用いて(10)式に従ってペロシティ値、 $\text{posval}[j]$ を算出する(ステップS142)。

【0075】同様にして、 β を算出する(ステップS142)。
 【0076】 β を算出する(ステップS142)。

【数8】
 $vel[i] = g(vel[j-1], vel[j-2], \dots, vel[j-T]) + \cdot_{ij}$ ($j > T$) $vel[i] = \cdot_{ij}$ ($j \leq T$) ただし、 T は関数 $g()$ の変数の個数 $\dots(10)$
 $vel[i]$ を用いて図25に示すようなノートオンイベントを出力する(ステップS143)。なお、

val[i] = g(val[i-1], val[i-2], ..., val[i-16], num[i], val[i]) を用いて図25に示すようなノートオンイベントを生成する。
 SMTの「タイム」Tは、Tn[i]の直前に出力したイベントの時刻Tbを使って式(11)に従って求め、出力する。

$$T = Tn[i] - Tb \dots (11)$$
 出力されるフォーマットの上位4ビットはノートオン「9(hex)」を表し、下位4ビットはチャンネル番号を示す。チャンネルの各バイトが続く。

図25に示すノートオンイベントにおけるステータスバイトの上位4ビットはノートオン[9(hex)]を表し、各バイトが続く。ヤネルマップから得られる番号が続く。このステータスバイトの後にはノートナンバとベロシティの各バイトが続く。ヤネルマップから得られる番号が続く。このステータスバイトの後にはデュレーション符号Dn[]を読み取つて、ノートナンバにノートオンイベントの登録を行う(ステップS144)。具体的にはデュレーション符号Dn[]を図26に示すようなノートナンバにノートオンイベントの登録を行う(ステップS144)。具体的にはデュレーション符号Dn[]を図26に示すようなノートナンバにノートオンイベントの登録を行う(ステップS144)。

【0078】次にノートオフイベントの登録を行う(ステップS144)。具体的には、ノートオフイベントの時刻T_{off}を算出し、この時刻T_{off}とノート番号num[]を図26に示すようなノートオフキューに登録する。このノートオフキューでは、使用されているエントリの数を保持するとともに、ノートオフ時刻T_{off}に従ってエントリを管理される。

オフキューに登録する。このノートオンキューでは、 $Tn[j]$ と $Tc[k]$ の内の値が小さいほう Tm をノートオフキューの先頭から小さい順に並ぶように管理される。

$Toff[j] = Da[j] \times Ds + Tn[j] \dots (12)$

$Toff[j]$ と $Toff[k]$ の内の値が小さいほう Tm をノートオフキューの先頭から小さい順に並ぶように管理される。

【0079】前述した図23のステップS125においては、Toff[n]とTof[n]との比較を行う。Toff[n] < Tm であるエントリがあればステップS126に進み、頭部のToff[n] (n = 1 ~ エントリ総数N) から順に比較する。Toff[n] < Tm である、前述したノートオフイベントをSMFとして出力する。ノートオフイベントを出力する。ステップS126では、前述したノートオフイベントを詳しく説明する。この処理では図28に示すように、ノートオフイベントを出力する。ノートオフイベントを詳しく説明する。この処理では図28に示すように、ノートオフイベントの時刻T

[illegible]

$T = Tc[k] - T_b \dots (13)$
 「T=Tc[k]-Tb」は、「ランニングステータス」であるかを判定する（ステップS152）。ここで、連続イ

【0081】次にコントローラ符号領域からイベントのランニングステータスであるかを判定する(ステップ16)。ランニングステータスであるか、「連続イベント」であるかは「ランニングステータス」であるかを判定する(ステップ17)。ランニングステータスである場合は、ランニングステータスのイベントフラグが省略された「ランニングステータス」であるかを判定する(ステップ18)。ランニングステータスのイベントフラグが省略された場合は、ランニングステータスのイベントフラグが省略されたランニングステータスのイベントブロック内では、図示省略16に示すように、2番目以降のイベントはイベントフラグが省略されたランニングステータスのイベントブロック内における順番を示す変数mを用いて識別される。ランニングステータスのイベントフラグが省略されたランニングステータスのイベントブロック内における順番を示す変数mを用いて識別されるランニングステータスのイベントブロック内における順番を示す変数mを用いて識別されるランニングステータスのイベントブロック内における順番を示す変数mを用いて識別される。

「0」にリセットし(ステップS153)、次いでチャネルマップを参照してSMFのステータスバイトを作成して出力する(ステップS154)。このステータスバイトは、チャネルマップの読出しに応じて必要なバイト数をコントローラ符号領域から読み出し、この読み出した値

[0]にリセットし(ステップS153)、次に、データバイトの必要バイト数をコントロール符号領域から読み出し、ステップS154)。さらにイベントの種類に応じて必要なバイト数をコントローラ符号領域から読み出し、ステップS154)。さらにイベントの種類に応じてこれを出力する(ステップS155)。
[0823]パラメータ(データバイト)であるのでこれを出力する順番を示す変数mを「1」にセットし、SMFのパラメータ(データバイト)である場合には、連続イベントブロック内における順番を示す変数mを「1」にセットし、[0824]EUIが「連続イベント」である場合には、連続イベントブロック内に作成して出力する(ステップS157)。

【0083】F[*n*]が「連続イベント」である場合には、連続イベントマップを作成して出力する（ステップS157）。（ステップS156）、次いでチャネルマップを参照してSMFのステータスバイトを作成して出力する。そして、この「連続イベント」なお、 $m \geq 2$ の場合のステータスバイトは m が「1」の場合のステータスバイトと同一である。

の場合には、パラメータ符号 „[m]” を読み出し、圧縮処理と同じ関数 h() を使い、(14) 式に従って SMF のパラメータ p[m] を作成し、出力する (ステップ S158)。

【0084】

【数9】

$$p[m] = h(p[m-1], p[m-2], \dots, p[m-U] + „[m]” \ (m > U)$$

$p[m] = „[m]” \ (m \leq U)$

ただし、U は関数 h() の変数の個数 … (14)

【0085】F[k] が「ランニングステータス」である場合には、変数 m の値をチェックし (ステップ S159)、m が「0」より大きければ m を 1 つインクリメントし (ステップ S160)、「連続イベント」側のステップ S157 に進む。他方、m が「0」であれば「通常イベント」側のステップ S154 に進む。

【0086】

【発明の効果】以上説明したように本発明によれば、LZ 法により圧縮する前に予め、同一のデータパターンの長さが長く、出現回数が多く且つ近い距離で出現するように、演奏情報を音程と、強さと、長さその他の情報に分離し、各情報をそれぞれ独立した領域に配置した 1 次符号を生成し、この 1 次符号を LZ 法により圧縮するので、演奏情報のデータ量を効率的に圧縮することができる。

【0087】また、1 次符号として演奏情報を音符の音程領域と、音符の強さ領域と、音符の長さ領域とその他の領域の少なくとも 4 つの領域に分離して符号化するので、元の演奏情報のもつ演奏品位を全く失うことなく、従来に比べ大幅にデータ容量が削減でき、したがって、データを保存するのに小容量の記録媒体を用いることができコストを削減することができ、また、通信回線を介してデータを伝送する場合にもコストを削減することができるとともに、伝送時間を削減することができる。また、大量の演奏情報を扱う通信カラオケや音楽データベースで特に効果が大きい。

分野

【発明の属する技術分野】本発明は、演奏情報のデータ量を圧縮する演奏情報圧縮装置及び演奏情報の圧縮データを復号する演奏情報復号装置に関する。

技術

【従来の技術】一般に、MIDI(Musical Instrument Digital Interface)データを保存する方式として、スタンダードMIDIファイル(以下、SMFという。)が広く用いられ、このSMFでは図19に示すように個々の演奏情報がデルタ(Δ)タイムとイベントの2つの要素により構成されている。Δタイムは、隣合ったイベント間の相対時間を表し、イベントはノートオン又はノートオフのステータス、音程(ノートナンバー)や音の強さ(ベロシティ)などの種々の演奏情報を含む。ここで、演奏情報とは音符により示される音程、音の長さの他に、音の強さ、楽曲の演奏上の拍子、テンポなどの情報、さらに音源の種類、リセットコントロールの情報などを含むものを指すものとする。また、このSMFでは各演奏情報が時間順に並んでトラックを構成している。ここで、SMF方式は記憶容量や伝送路の効率的利用という点ではあまり優れたものではないので、通信カラオケや音楽データベースのように多数の楽曲データを記録、伝送するシステムでは、演奏情報のデータ量を効率的に圧縮することが求められている。

【0003】一方、テキスト等のデジタルデータを可逆的(ロスレス)に圧縮する方法としては、文字列(データパターン)が繰り返すことを利用して繰り返し分を圧縮するLZ(Lempel-Zif)法が現在広く使用され、LZ法は一般に使われている可逆式圧縮方法の中で、圧縮率が最も高いと言われている。LZ法は文字列が繰り返すことを利用して圧縮する中で、入力データの中の限られた範囲内に出現する同一のデータパターンの数が多く、且つ同一データパターン長が長い場合に圧縮率が高くなるという性質を有する。

効果

【発明の効果】以上説明したように本発明によれば、LZ法により圧縮する前に予め、同一のデータパターンの長さが長く、出現回数が多く且つ近い距離で出現するように、演奏情報を音程と、強さと、長さその他の情報に分離し、各情報をそれぞれ独立した領域に配置した1次符号を生成し、この1次符号をLZ法により圧縮するので、演奏情報のデータ量を効率的に圧縮することができる。

【0087】また、1次符号として演奏情報を音符の音程領域と、音符の強さ領域と、音符の長さ領域とその他の領域の少なくとも4つの領域に分離して符号化するので、元の演奏情報のもつ演奏品位を全く失うことなく、従来に比べ大幅にデータ容量が削減でき、したがって、データを保存するのに小容量の記録媒体を用いることができコストを削減ことができ、また、通信回線を介してデータを伝送する場合にもコストを削減することができるとともに、伝送時間を削減することができる。また、大量の演奏情報を扱う通信カラオケや音楽データベースで特に効果が大きい。

課題

【発明が解決しようとする課題】しかしながら、SMFではファイル中に出現する同一データパターンの数や長さが必ずしも上記LZ法の条件を満たしていないので、SMFをLZ法により圧縮しても十分な圧縮率を実現することができないという問題点がある。その理由を以下の例で説明すると、先ず、通常の楽曲では1番、2番のように同じようなメロディが繰り返し、したがって、楽譜上でもそれらが同じ音譜で表現されているので、SMFにおいても同様に同一のデータパターンが繰り返し出現しているかのようなのである。

【0005】しかしながら、楽譜で表すと同一であるメロディであっても、SMFデータでは完全には同一ではないことが多い。図19は一例として2つの似たようなメロディ「1」、「2」のSMFデータを示し、各SMFデータは、タイム、ステータス、ノートナンバ及びベロシティ(強さ)より成る。この場合、楽曲の中の同じようなメロディであっても、繰り返しの単調さを避けたり、メリハリを付ける目的のために、タイムやベロシティ(強さ)が微妙に異なっていることが多く、したがって、LZ法により圧縮しても十分な圧縮率が得られない。

【0006】本発明は上記従来の問題点に鑑み、LZ法により演奏情報のデータ量を効率的に圧縮、また、伸長することのできる演奏情報圧縮装置及び演奏情報復号装置を提供することを目的とする。

手段

【課題を解決するための手段】本発明は上記目的を達成するために、L2法により圧縮する前に予め、同一のデータパターン¹の長さが長く、出現回数が多く且つ近い距離で出現するように、演奏情報を音程と、強さと、長さその他の情報に分離し、それぞれ独立した領域に配置するようにしている。すなわち本発明によれば、演奏情報を少なくとも音程の情報と、音の強さの情報と、音の長さの情報とその他の情報に分離し、各情報をそれぞれ独立した領域に配置し、音程の情報と、音の強さの情報と、前記1次符号生成手段により生成された2次符号の各領域の情報をL2法により圧縮する2次符号生成手段とを有する演奏情報圧縮装置が提供される。

法により圧縮する2次符号生成手段が、各イベント間の相対時間の公約数及び各音符の長さの公約数を算出し、各イベント間[0008]1次符号生成手段が、各イベント間の相対時間の公約数で除算した後符号化するよう構成されていることは本発明の好ましい態様である。また、1次符号生成手段が、各音符の音程情報をそれ以前に出現した音符の音程の数値を使つて一定の関数式に従つて算出した数値と実際の数値との残差で表すよう構成されていることは本発明の好ましい態様である。また、1次符号生成手段が、各音符の強さ情報をそれ以前に出現した音符の強さの数値を使つて一定の関数式に従つて算出した数値と実際の強さの数値との残差で表すよう構成されていることは本発明の好ましい態様である。

[0009]また、1次符号生成手段が、特定の種類のイベントのパラメータ値をそれ以前に出現した同種類のイベントのパラメータ値を使って一定の関数式に従つて算出した数値と実際のパラメータ値との残差で表すよう構成されていることは本発明の好ましい態様である。また、1次符号生成手段が、各情報を当該領域においてトラック順に配置することは本発明の好ましい態様である。さらに、1次符号生成手段が、前記各領域をデータの性質が似ている領域同志にすることは本発明の好ましい態様である。

【0010】また、本発明によれば、演奏情報を少なくとも音程の情報と、音の強さの情報と、音の長さの情報と、その他の情報に分離し、前記各情報をそれぞれ独立した領域に配置した1次符号を生成し、この1次符号の各領域の情報をL2法により圧縮した2次符号を復号する演奏情報復号装置であつて、前記2次符号を前記1次符号に復号する2次符号復号手段と、前記2次符号復号手段により復号された1次符号を演奏情報に復号する1次符号復号手段とを有することを特徴とする演奏情報復号装置が提供される。

【0011】

【発明の実施の形態】以下、図面を参照して本発明の形態について説明する。図1は本発明に係る演奏情報圧縮装置の一例を示すブロック図、図2は図1の1次符号生成手段の一例を詳細に示すブロック図、図3は図2のチャネル分離手段により作成されるチャネルマップを示す説明図、図4は図2の解析手段の処理を説明するためのフローチャート、図5は図2の解析手段により作成されるノートテーブルを示す説明図、図6は図2の解析手段の処理とデューレーションの関係を示す説明図、図7は図2の解析手段により作成されるSMFの、タイムと本実施例のデューレーションの関係を示す説明図、図8は図2のノート、符号生成手段の処理を説明するためのフローチャート、図9は図2のノート、符号生成手段により生成されるノート、符号を示す説明図、図10は図2のデューレーション符号生成手段の処理を説明するフローチャート、図11は図2のデューレーション符号生成手段により生成されるデューレーション符号を示す説明図、図12は図2のノート、符号生成手段により生成されるノート、符号を示す説明図、図13は図2のペロシティ符号生成手段により生成されるペロシティ符号を示す説明図、図14は図2のコントロール符号生成手段により生成されるコントロール符号を示す説明図、図15は図2のSMFの連続イベントブロックを示す説明図、図16は本実施例の連続イベントブロックを示す説明図、図17は図16の連続イベントブロックの効果を示す説明図、図18は図2の符号配置手段により並べ替えられた1次符号を示す説明図である。

図19に示すようなSMFであり、SMFのフォーマットは、タイム、ステータス、ノート番号及びペロシティにより構成されている。ここで、本明細書では「発音開始イベント」を「ノートオンイベント」、「発音停止イベント」を「ノートオフイベント」と呼ぶ。また「ノートオンイベント」と「ノートオフイベント」を合わせて「ノートイベント」と呼び、それ以外のイベントを「コントロールイベント」と呼ぶ。

【0013】図1において、SMFフォーマットの入力データは1次符号生成手段2により解析され、少なくとも演奏情報を音程と、強さと、長さその他の情報に分離され、各情報がそれぞれ独立した領域に配置した1次符号3が生成される。この1次符号3の各領域の符号は2次符号生成手段4によりL2法で圧縮され、2次符号5が生成される。なお、このように圧縮されたデータは図20～図28に詳しく示す復号装置によりL2法で復号され、音程と、強さと、長さその他の情報に基づいて音符が復元される。

【0014】1次符号生成手段2は例えば図2に詳しく示すように、チャネル分離手段11と、解析手段12と、ノート、符号生成手段13と、コントロール、符号生成手段14と、デューレーション符号生成手段15と、ノート番号符号生成手段16と、ペロシティ符号生成手段17と、コントロール符号生成手段18と符号配置手段19で構成される。この例では1つの音符を示すノート、符号、コントロール、符号、デューレーション符号、ノート番号符号、ペロシティ符号及びコントロール符号の6種類の1次圧縮符号が符号配置手段19により並べ替えられ、1次符号3として2次符号生成手段4に出力される。

【0015】チャネル分離手段11ではSMFの1トラックに複数チャネルのイベントが含まれているか否かのチェックを、1トラックのチャネル番号の対応を表したチャネルマップを作成し、これにより、トラックの分割を行う。そして、図3のようなトラックとチャネル番号の対応を表したチャネルマップを作成し、このように以降の処理はトラック単位で行う。ここで、SMFのイベントの大半はチャネル情報を含んだものであるが、このようにトラック分割とチャネルマップの作成を行うことにより、個々のイベントのチャネル情報を省略することができ、データ量を削減することができる。

【0016】解析手段12では図4に示す処理を行い、トラック毎に図5に示すようなノートテーブルと図6に示すようなコントロールテーブルを作成する。まず、SMFから順次、タイムにイベントを読み出し(ステップS1)、タイムからトラックの先頭を基準としたイベントの時間(以下では単に、イベントの時間と呼ぶ)を計算する(ステップS2)。次にイベントを解析し、イベントを「ノートオンイベント」、「ノートオフイベント」、「コントロールイベント」の3種類に分類する。

【0017】そして、「ノートオフイベント」の場合には図5に示すようなノートテーブルにノートナンバ(音符の音程)とベロシティ(音符の強さ)を登録し(ステップS3→S4)、「ノートオフイベント」の場合にはデレシュョン(音符の長さ)を計算してノートテーブルに登録する(ステップS5→S6)。また、「コントロールイベント」の場合には図6に示すようなコントロールテーブルに登録し(ステップS7)、このようにして演奏情報毎にノートテーブルとコントロールテーブルを作成する(ステップS8→S1)。

ステップS8～S1)。
 (0018) ところで、ノートテーブルは図5に示すようにトラックのノート(音符)イベント情報を時間順に並べたものであり、コントローラテーブルは図6に示すように、トラックのコントローラ(音符以外)の情報を時間順に並べたものである。また、イベントの場合にノートテーブルとベロシティを書き込む際、イベントの時間をノートテーブルの所定の時間位置に書き込む。

次に、「ノートオンイベント」の場合にノートンパルとベロパルを初期値として「Q」にセットする。そして、「ノートオフイベント」の場合にノートパルを初期値として「Q」にセットする。そして、ノートオフイベントの時間よりも早く書き込み、また、ノートパルがノートオフであれば、ノートパルを先頭から走査して、ノートを選び出し、対応させる。そして対応したノートと、ノートオフイベントの時間と「Q」にセットされているノートを結びつける。そして、ノートオフイベントの時間よりも早く、かつノートンパルと同じで、かつノートオフの時間とOffとの差（Off - On）を「デュレーション（音符の長さ）」とし、ノートンパルの時間とノートオフの時間とOffとの差（Off - On）に1をセットする。

応する。ノートオンの時間Tonとノートオフの時間Toffとの差(Ton-Toff)を「」にセットする。
 0001の「」に、デューション」欄に記載することにも、「」(参照)欄を「」にセットする。
 ーブルの「デューション」欄に記載することにも、「」(参照)欄を「」にセットする。
 [0020]にて、「デューション」という概念はSMFにはないが、これをいれることによりノートオンイベントを省略でき
 ので、データ容量が削減できる。SMFにおいて、のタイムがデューションに相当する
のタイムが削減された。また、ノートオンイベントの前の、タイムがデューションという概念を使ってノートオンとノート

[illegible]

(0021) は、ノートファクトリ（ハードウェア）の性能に依存する。また、削除しても問題ない。したがって、ノートファクトリで省略の効果の方が大きく、1つの音符につき2個のデータ量が増えることがあるが、いずれにしてもノートファクトリで省略の効果が大きい。その結果、1つの楽曲の中に1万個程度の音符が含まれている場合にも珍しくない。

次に、この場合には最大30Kバイトの削減ができることになり、圧縮効果が大いである。ノートファクトリ以外のイベントであれば、イベントの時間とイベントの内容をコントロールテーブルに格納し、コントロールテーブルには8B個のイベント番号を格納する。

[illegible][illegible]

T[0] = 0)。すなわち、各ノードにおいて、タイムは1拍の何分の1かを基本単位として可変長付与で表現される。ここで、SMFにおいて、「タイムは1拍の何分の1かを基本単位として可変長付与で表現される」という表現は、 $\frac{1}{2}$ 拍、 $\frac{1}{4}$ 拍、 $\frac{1}{8}$ 拍、 $\frac{1}{16}$ 拍、 $\frac{1}{32}$ 拍、 $\frac{1}{64}$ 拍、 $\frac{1}{128}$ 拍、 $\frac{1}{256}$ 拍、 $\frac{1}{512}$ 拍、 $\frac{1}{1024}$ 拍、 $\frac{1}{2048}$ 拍、 $\frac{1}{4096}$ 拍、 $\frac{1}{8192}$ 拍、 $\frac{1}{16384}$ 拍、 $\frac{1}{32768}$ 拍、 $\frac{1}{65536}$ 拍、 $\frac{1}{131072}$ 拍、 $\frac{1}{262144}$ 拍、 $\frac{1}{524288}$ 拍、 $\frac{1}{1048576}$ 拍、 $\frac{1}{2097152}$ 拍、 $\frac{1}{4194304}$ 拍、 $\frac{1}{8388608}$ 拍、 $\frac{1}{16777216}$ 拍、 $\frac{1}{33554432}$ 拍、 $\frac{1}{67108864}$ 拍、 $\frac{1}{134217728}$ 拍、 $\frac{1}{268435456}$ 拍、 $\frac{1}{536870912}$ 拍、 $\frac{1}{1073741824}$ 拍、 $\frac{1}{2147483648}$ 拍、 $\frac{1}{4294967296}$ 拍、 $\frac{1}{8589934592}$ 拍、 $\frac{1}{17179869184}$ 拍、 $\frac{1}{34359738368}$ 拍、 $\frac{1}{68719476736}$ 拍、 $\frac{1}{137438953472}$ 拍、 $\frac{1}{274877906944}$ 拍、 $\frac{1}{549755813888}$ 拍、 $\frac{1}{1099511627776}$ 拍、 $\frac{1}{2199023255552}$ 拍、 $\frac{1}{4398046511104}$ 拍、 $\frac{1}{8796093022208}$ 拍、 $\frac{1}{17592186044416}$ 拍、 $\frac{1}{35184372088832}$ 拍、 $\frac{1}{70368744177664}$ 拍、 $\frac{1}{140737488355328}$ 拍、 $\frac{1}{281474976710656}$ 拍、 $\frac{1}{562949953421312}$ 拍、 $\frac{1}{1125899906842624}$ 拍、 $\frac{1}{2251799813685248}$ 拍、 $\frac{1}{4503599627370496}$ 拍、 $\frac{1}{9007199254740992}$ 拍、 $\frac{1}{18014398509481984}$ 拍、 $\frac{1}{36028797018963968}$ 拍、 $\frac{1}{72057594037927936}$ 拍、 $\frac{1}{144115188075855872}$ 拍、 $\frac{1}{288230376151711744}$ 拍、 $\frac{1}{576460752303423488}$ 拍、 $\frac{1}{1152921504606846976}$ 拍、 $\frac{1}{2305843009213693952}$ 拍、 $\frac{1}{4611686018427387904}$ 拍、 $\frac{1}{9223372036854775808}$ 拍、 $\frac{1}{18446744073709551616}$ 拍、 $\frac{1}{36893488147419103232}$ 拍、 $\frac{1}{73786976294838206464}$ 拍、 $\frac{1}{147573952589676412928}$ 拍、 $\frac{1}{295147905179352825856}$ 拍、 $\frac{1}{590295810358705651712}$ 拍、 $\frac{1}{1180591620717411303424}$ 拍、 $\frac{1}{2361183241434822606848}$ 拍、 $\frac{1}{4722366482869645213696}$ 拍、 $\frac{1}{9444732965739290427392}$ 拍、 $\frac{1}{18889465931478580854784}$ 拍、 $\frac{1}{37778931862957161709568}$ 拍、 $\frac{1}{75557863725914323419136}$ 拍、 $\frac{1}{151115727451828646838272}$ 拍、 $\frac{1}{302231454903657293676544}$ 拍、 $\frac{1}{604462909807314587353088}$ 拍、 $\frac{1}{1208925819614629174706176}$ 拍、 $\frac{1}{2417851639229258349412352}$ 拍、 $\frac{1}{4835703278458516698824704}$ 拍、 $\frac{1}{9671406556917033397649408}$ 拍、 $\frac{1}{19342813113834066795298816}$ 拍、 $\frac{1}{38685626227668133590597632}$ 拍、 $\frac{1}{77371252455336267181195264}$ 拍、 $\frac{1}{154742504910672534362390528}$ 拍、 $\frac{1}{309485009821345068724781056}$ 拍、 $\frac{1}{618970019642690137449562112}$ 拍、 $\frac{1}{1237940039285380274899124224}$ 拍、 $\frac{1}{2475880078570760549798248448}$ 拍、 $\frac{1}{4951760157141521099596496896}$ 拍、 $\frac{1}{9903520314283042199192993792}$ 拍、 $\frac{1}{19807040628566084398385987584}$ 拍、 $\frac{1}{39614081257132168796771975168}$ 拍、 $\frac{1}{79228162514264337593543950336}$ 拍、 $\frac{1}{158456325028528675187087900672}$ 拍、 $\frac{1}{316912650057057350374175801344}$ 拍、 $\frac{1}{633825300114114700748351602688}$ 拍、 $\frac{1}{1267650600228229401496703205376}$ 拍、 $\frac{1}{2535301200456458802993406410752}$ 拍、 $\frac{1}{5070602400912917605986812821504}$ 拍、 $\frac{1}{10141204801825835211973625643008}$ 拍、 $\frac{1}{20282409603651670423947251286016}$ 拍、 $\frac{1}{40564819207303340847894502572032}$ 拍、 $\frac{1}{81129638414606681695789005144064}$ 拍、 $\frac{1}{162259276829213363391578010288128}$ 拍、 $\frac{1}{324518553658426726783156020576256}$ 拍、 $\frac{1}{649037107316853453566312041152512}$ 拍、 $\frac{1}{1298074214633706907132624082305024}$ 拍、 $\frac{1}{2596148429267413814265248164610048}$ 拍、 $\frac{1}{5192296858534827628530496329220096}$ 拍、 $\frac{1}{10384593717069655257060992658440192}$ 拍、 $\frac{1}{20769187434139310514121985316880384}$ 拍、 $\frac{1}{41538374868278621028243970633760768}$ 拍、 $\frac{1}{83076749736557242056487941267521536}$ 拍、 $\frac{1}{166153499473114484112975882535043072}$ 拍、 $\frac{1}{332306998946228968225951765070086144}$ 拍、 $\frac{1}{664613997892457936451903530140172288}$ 拍、 $\frac{1}{1329227995784915872903807060280344576}$ 拍、 $\frac{1}{2658455991569831745807614120560689152}$ 拍、 $\frac{1}{5316911983139663491615228241121378304}$ 拍、 $\frac{1}{10633823966279326983230456482242756608}$ 拍、 $\frac{1}{21267647932558653966460912964485513216}$ 拍、 $\frac{1}{42535295865117307932921825928971026432}$ 拍、 $\frac{1}{85070591730234615865843651857942052864}$ 拍、 $\frac{1}{1701411834604692317316873037158841$

バイト数も増える。一方、スレッドの増加に比例して記録されていることが多い。
 ことが多く、したがって、 T_{CPU} の値が必ず以上の容量を使って記録されている全ての相対時間、
 [0025] ことが多く、したがって、実際に使用されている時間精度を求めめるに、ノートブックに登録されている全ての相対時間は、適当
 [0026] に対して最大公約数、 T_s を算出する(ステップS12)。この場合、最大公約数を求めるのが困難な場合は、適当
 [0027] T_s とすること、 T_{CPU} をSMFと同様の可変長符号で出力する(ステップS13~S17)。したが
 [0028] T_{CPU} を可変長符号化する(ステップS15)。したが

[illegible][illegible]

また、1拍あるいは1/2拍に相当する。タイムは使用頻度が高いのと、 $\frac{1}{2}$ 拍のときと同等である。また、1拍あるいは1/2拍に相当する。タイムは使用頻度が高いのと、 $\frac{1}{2}$ 拍のときと同等である。

つ削減されれば、楽曲全体で相当の容量を削減することができるといえる。

[002]コントローラ。符号生成手段14は、処理対象がノートテーブルではなくコントロールテーブルであるという場合、符号生成手段13と同じく処理を行い、生成されるコントロール符号の構成も符号の数がNA個から1個となる。符号生成手段13と同じく、各符号とも一致である。

[illegible][illegible][illegible]

【0030】ノートナンバ符号は図12に示すように、iSのイベントに対するノートナンバと、i>Sのイベントに対するノートナンバとの差、[]を時間順に並べたものにより構成される。したがって、圧縮時と伸長時で同じ関数Kを使えば、残差、[]が

[i]を復元することができる。

[0031]

【数1】 $\text{num}[i] = \{\text{num}[i-1], \text{num}[i-2], \dots, \text{num}[i-S]\} + \{i\} \dots (1)$
 但し、イベントの数をNAとして、 $i = S+1, (S+2), \dots, \text{NA}$ [0032] ここで、関数*f*(i)には種々のものが考えられるが、なるべく但し、イベントの数をNAとして、 $i = S+1, (S+2), \dots, \text{NA}$ [0032] ここで、関数*f*(i)には種々のものが考えられるが、なるべく同じ値の、[i]が繰り返して出現するようなものを選び、2次符号生成手段4で効率の良い圧縮が可能となる。一例として(2)式のような関数を使った場合の効果を説明する。これはS=1であり、1つ前のノートナンバとの差分を、[i]とすることを意味する。ただしi=1の場合はノートナンバそのものをノートナンバ符号として出力する。

[0033]

【数2】 $\text{num}[i] = \text{num}[i-1] + \{i\} \dots (2)$
 但し、イベントの数をNAとして、 $i = 2, 3, \dots, \text{NA}$ [0034] ここで、通常の楽曲においては、コード(和音)のルート音(根音)の平行移動量と同じ音程だけ移動したメロディーラインが存在することが多い。例えば「C」コードの小節で「ド、ド、ミ、ソ、ミ」というメロディーラインがある場合に、ルート音が2度高い「D」コードの小節において「レ、レ、ファ、ラ、レ」というように、最初のメロディーラインを2度上げたメロディーラインが存在することが多い。
 [0035] この各々のメロディーラインをSMFのノートナンバそのもので表すと、「60, 60, 64, 67, 60」、「62, 62, 66, 69, 62」となり、この2つに共通のデータパターンは全くない。しかし前述の、[i]で表現すると、どちらのメロディーラインもその2音目以降は「0, 4, 3, -1」となり同一のパターンとなる。このようにSMFでは全く異なる2つのデータパターンを、本手法により同一のデータパターンに変換することができる。

[0036] LZ法では、同一のデータパターンが多いほど圧縮率が高くなるので、このようなノートナンバの表現方法により圧縮率が高くなることは明らかである。なお(1)式でS=0とすると、num[i] = {i}となり、ノートナンバそのものを符号化することになる。また関数*f*(i)を何種類か用意しておき、最も適切な関数を選択して符号化するとともに、どの関数

を使用したかという情報を合わせて符号化してもよい。
 [0037] ペロシディ符号生成手段17はノートナンバ符号生成手段16と同様である。ノートテーブルに登録されたある一音符のペロシディ*vel*(i)を(3)式のように、それ以前に出現したT個の音符のペロシディ*vel*(i-1), *vel*(i-2), ..., *vel*(i-T)を変数とする関数*g*(i)と残差、[i]で表す(ただし、*vel*(i-1)は*vel*(i)の1つ前のペロシディ、*vel*(i-2)は*vel*(i)の2つ前のペロシディ)。

[0038] ペロシディ符号は図13に示すように、i ≤ Tのイベントに対するペロシディ、i > Tのイベントに対して残差、[i]を時間順に並べたものにより構成される。したがって、圧縮時と伸長時で同一関数*g*(i)を使えば、残差、[i]から*vel*(i)を復元でき、また、関数*g*(i)を適当に選ぶことにより、同じデータパターンの、[i]が繰り返して出現することになり、LZ法を用いた場合の圧縮率を改善することができる。

[0039]

【数3】 $\text{vel}[i] = \{g(\text{vel}[i-1], \text{vel}[i-2], \dots, \text{vel}[i-T]) + \{i\} \dots (3)$
 【数3】 $\text{vel}[i] = \{g(\text{vel}[i-1], \text{vel}[i-2], \dots, \text{vel}[i-T]) + \{i\} \dots (3)$
 但し、イベントの数をNAとして、 $i = T+1, (T+2), \dots, \text{NA}$ [0040] 次にコントロール符号生成手段18について説明する。コントロール符号は図14に示すように、図6に示すコントロールテーブルに登録されたイベントの情報を時間順に並べたものである。各コントロール符号は、イベントの種類を表すフラグFとパラメータ(データバイト)で構成される。パラメータの個数はイベントの種類により異なる。イベントの種類は大きく分けて「通常イベント」と「連続イベント」の2つのタイプがある。フラグFの最上位ビットが「1」、パラメータの最上位ビットが「0」に設定されているので、SMFと同様のランニングステータス表現(前のイベントと同じ種類のイベントの場合にフラグFを省略すること)が可能になっている。
 [0041] ここで、SMFではイベントの種類をあらわすのに1バイトのMIDIステータスが使われている。一般的に使用される値は、8n(hex), 9n(hex), An(hex), Bn(hex), Cn(hex), Dn(hex), En(hex), F0(hex), FF(hex)のいずれかである(ただし、n=0〜F(hex), nはチャネル番号である)。「通常イベント」は、上記MIDIステータスからノートオン8n(hex)とノートオフ9n(hex)を除いたものであるが、本発明では前述したようにチャネル番号を表現する必要が無いので、「通常イベント」のフラグの種類は7種類となる。従ってMIDIステータスに比べフラグFは同じ値になる確率が高く、LZ法を用いた場合の圧縮率が高まる。「通常イベント」の符号は、フラグFの後に、SMFのMIDIステータス1バイトを除いたデータバイトを並べたものである。

[0042] また、SMFでは、特定の種類のイベントが一定数以上連続して出現し、各々のイベントのパラメータ値(データバイト)がほぼ一定の規則で変化する部分が存在することが多い。例えば「ピッチホイールチェンジ」イベントが使われている部分である。このイベントは、音符の音程を微妙に変えて音楽的な表現力高めるためのものであり、性質上パラメータ値の異なる複数イベントが連続して使われることが多い。このようなイベントを「連続イベント」と呼び、

このような部分を「連続イベントブロック」と呼ぶ。
 [0043] 以下の説明では、「連続イベント」の一例として「ピッチホイールチェンジ」を取りあげ、これに限定されるものではない。SMFの「連続イベントブロック」の一例を図15に示す。この場合、各イベントのパラメータ値が異なるので、SMFの同一データパターンの長さは、(タイム1バイト+ステータス1バイト)の計2バイトであり、この程度の長さではLZ法による圧縮の効果はほとんど得られない。

[0044] そこで、コントロールテーブルの中で「ピッチホイールチェンジ」が一定数以上連続して出現し、パラメータ値がほぼ一定の規則で変化する領域に対し、以下の処理を施すことによりコントロール符号を生成する。まず、「ピッチホイールチェンジ」の数が一定数に満たない場合は、前述した「通常イベント」として符号化する。そして、(4)式に示すように、連続イベントブロック内のイベントのパラメータ*p*[i]をそれ以前に出現したU個のイベントのパラメータ値*p*[i-1], *p*[i-2], ..., *p*[i-U]を変数とする関数*h*(i)と残差、[i]で表す(ただし、*p*[i-1]は[i]の1つ前のパラメータ値、*p*[i-2]は[i]の2つ前のイベントのパラメータ値)。

[0045] 連続イベントの符号の構成は図16に示すように、ピッチホイールチェンジが連続していることを意味するフラグに続き、1番目からU番目までのイベントに対してはパラメータの値そのものである。そして、(U+1)番目以降のイベントでは、[i]を時間順に並べたものである。
 [0046]

【数4】 $[i] = h(p[i-1], p[i-2], \dots, p[i-U]) + \{i\} \dots (4)$

ただし、連続イベントブロックのイベント数をNCとして $i = (U + 1), (U + 2), \dots, NC[0047]$ 関数 $h(i)$ は種々のものが考えられるが、なるべく同じ値の $h(i)$ が繰り返して出現するようなものを選ぶことにより、2次符号生成手段4において効率の良い圧縮が可能となる。一例として(5)式のような関数を使った場合の効果を説明する。これは $U=1$ であり、1つ前のパラメータとの差分をとることを意味する。

[0048]

[数5]

$$p[i] = p[i-1] + \dots + [i] \dots (5)$$

ただし、連続イベントブロックのイベント数をNCとして $i = 2, 3, \dots, NC[0049]$ この方法によれば、図15に示す領域は図17のようなコントロール符号に変換される。この場合、2番目以降のイベントのデータが全て同一の「1」になるため、LZ17のような圧縮率が上がる。また、コントロール符号には、タイムが含まれないので、タイムがイベント毎に異なる場合でも、LZ法における圧縮率低下の影響が少ない。また場合によっては、(4)式の代わりに、イベントの時間情報も変数に用いた(6)式のような関数 $e(i)$ を使っても良い。ただし、 $t[i]$ はパラメータを求めるイベントの時間、 $h(i-1)$ はその1つ前のイベントの時間である。

[0050]

[数6] $p[i] = e(p[i-1], p[i-2], \dots, p[i-U], t[i], t[i-1], \dots, t[i-U]) + \dots + [i] \dots (6)$
 ただし、連続イベントブロックのイベント数をNCとして $i = (U + 1), (U + 2), \dots, NC[0051]$ 符号配置手段19では、上記の各符号を図18のような領域に配置して1次符号3を生成する。ヘッダは各符号の開始アドレスや長さといった管理情報や前述したチャネルマップを含んでいる。さらに同一データパターンが近い距離で出現する多く、同一データパターンの長さも長いという性質を持っているが、さらに同一データパターンが近い距離で出現するよう工夫をしている。まず同じ種類の符号内で、同じデータ列が出現する確率が高いので、トラック順に同一種類の符号を配置している。また、ノート、符号とコントロール、符号とデュレーション符号は、全て時間情報でであり、性質の異なるノートナンバ符号やベロシティ符号よりも同じデータ列が出現する確率が高いので、これらの距離が近くなるように配置している。

[0052] 次に、図19で示した例に戻って、同一データパターンの長さがどの程度改善されるか具体的に検討する。ここで、各々のメロディは、50個のノートオンイベントと50個のノートオフイベントで構成されており、全ての「タイムは1バイトであるとし、全てのイベントは3バイトであると仮定すると、各々のメロディのノートナンバは前述したように全て同じである。

[0053] SMFにおいて、各々のメロディのデータ量は、 $(1+3) \times 50 \times 2 = 400$ バイトである。各々のメロディの「タイムとベロシティが全て同じならば、同一データパターンの長さは400バイトになる。しかし両メロディ間全ての「タイムとノートオンのベロシティが異なっていると、SMFで同一データパターンの最大長は、ノートオフ全ての「タイムとベロシティの並びの3バイトである。この程度ではLZ法の圧縮はほとんど効果がない。

ノートナンバ、ベロシティの並びの3バイトである。この程度ではLZ法の圧縮はほとんど効果がない。

[0054] 一方、本発明では、「タイム、ノートナンバ、ベロシティを分離して符号化しているため、少なくともノートナンバの符号中の50バイトの長さの同一データパターンが出現する。また前述したようにSMFのベロシティが全く異なる場合でも、ベロシティ符号の中では同一データパターンが出現することが多い。従ってLZ法による圧縮率は明らかに改善される。以上の説明から分かるように1次符号3は、SMFの持つ音楽的な情報量を全く落とすことなくデータ量が削減されていると同時に、SMFに比べて同一のデータパターンの長さが長く、出現回数も多く、しかもそれらが近い距離で出現するようになっているので、2次符号生成手段4において効果的な圧縮を行うことができる。また、この1次符号3そのものも、かなり圧縮されたデータ量となっているので、この1次符号3を直接出力するようしてもよい。

[0055] 2次符号生成手段4においては、1次符号生成手段2の出力3に対して、LZ法による圧縮を行う。LZ法は、gzip、LHAといった圧縮プログラムで広く使われている手法である。これは入力データのなかから、同一のデータパターンを捜し、もし存在すれば、(過去に)出現したパターンへの距離、パターンの長さという情報に置き換えて表現することをする。

例えば「ABCDEABCEDEF」というデータを、「ABCDE」が繰り返してあるので、「ABCDE」でデータ量を削減する。例えば「ABCDEABCEDEF」は5文字戻って5文字コピーすることを表す。

(5, 5)Fという情報に置き換える。なお、圧縮符号(5, 5)は5文字戻って5文字コピーすることを表す。

[0056] 処理の概要は次のようになる。2次符号5の生成は、処理位置を1次符号3の先頭から順次移動させて行う。処理位置の移動は次のようになる。2次符号5の生成は、処理位置を1次符号3の先頭から順次移動させて行う。

2次符号5の生成は、処理位置を1次符号3の先頭から順次移動させて行う。処理位置を1次符号3の先頭から順次移動させて行う。

2次符号5の生成は、処理位置を1次符号3の先頭から順次移動させて行う。処理位置を1次符号3の先頭から順次移動させて行う。

2次符号5の生成は、処理位置を1次符号3の先頭から順次移動させて行う。処理位置を1次符号3の先頭から順次移動させて行う。

2次符号5の生成は、処理位置を1次符号3の先頭から順次移動させて行う。処理位置を1次符号3の先頭から順次移動させて行う。

2次符号5の生成は、処理位置を1次符号3の先頭から順次移動させて行う。処理位置を1次符号3の先頭から順次移動させて行う。

2次符号5の生成は、処理位置を1次符号3の先頭から順次移動させて行う。処理位置を1次符号3の先頭から順次移動させて行う。

2次符号5の生成は、処理位置を1次符号3の先頭から順次移動させて行う。処理位置を1次符号3の先頭から順次移動させて行う。

2次符号5の生成は、処理位置を1次符号3の先頭から順次移動させて行う。処理位置を1次符号3の先頭から順次移動させて行う。

2次符号5の生成は、処理位置を1次符号3の先頭から順次移動させて行う。処理位置を1次符号3の先頭から順次移動させて行う。

2次符号5の生成は、処理位置を1次符号3の先頭から順次移動させて行う。処理位置を1次符号3の先頭から順次移動させて行う。

2次符号5の生成は、処理位置を1次符号3の先頭から順次移動させて行う。処理位置を1次符号3の先頭から順次移動させて行う。

2次符号5の生成は、処理位置を1次符号3の先頭から順次移動させて行う。処理位置を1次符号3の先頭から順次移動させて行う。

2次符号5の生成は、処理位置を1次符号3の先頭から順次移動させて行う。処理位置を1次符号3の先頭から順次移動させて行う。

2次符号5の生成は、処理位置を1次符号3の先頭から順次移動させて行う。処理位置を1次符号3の先頭から順次移動させて行う。

【注8】
 $vel[j] = g(vel[j-1], vel[j-2], \dots, vel[j-T]) + u_j$ ($j > T$) $vel[j] = u_j$ ($j \leq T$) ただし、 T は関数 $g()$ の変数の個数 \dots (10)
 $vel[j] = g(vel[j-1], vel[j-2], \dots, vel[j-T]) + u_j$ ($j > T$) $vel[j] = u_j$ ($j \leq T$)
 【0077】 次に、 $Tn[j]$ 、 $num[j]$ 、 $vel[j]$ を用いて図25に示すようなノートオンイベントを出力する(ステップS143)。なお、 $Tn[j]$ は、 $Tn[j]$ の直前に出力したイベントの時刻 Tb を使って式(11)に従って求め、出力する。

SMOT、タイムズ、Tnは、Trnの直前に出力したイベントの時刻と一致する。ここで、 $T = Tn - Trn$ とし、(11)

T=トートオフタイムを表し、下位4ビットはチップ25に示すノートオンイベントにおけるステータスバイトの上位4ビットをノートオン「9(hex)」を表し、下位4ビットが続く。

図25に示すノートオンイベントが読取られる番号が読取る。具体的にはデレギュレーション番号Daを読み取り、007812次にノートオフイベントの登録を行う(ステップS14)。この時刻Toffとノートナットナムを图26に示すよりノートオフキューに登録する。このノートオフキューでは、使用されているエントリの数と保持するにも、ノートオフ時刻Toffが先頭から小さい順に並ぶように管理される。

$off = \text{先頭} + Da \times Ms + Trn$ (12)

S15においては、Tn[i]とTk[k]の内値が小さいほうTmをノートオフキューの先頭に格納する。格納するエントリがあればステップS12に進み、そうでなければ終了する。

[illegible]

b、ステップ(13)式に従ってSMTの「タイム」Tを求め、山崎さんの待ち時間F(k)を算出する。
 $T = T_{\text{event}(k)} - T_b \dots (13)$
 [0081]次にコンピュータ符号領域からイベントの種類を表すイベントフラグF(k)を読み取り、F(k)が「通常イベント」であるか、「連続イベント」であるかは「ランニングステータス」であるかを判定する(ステップS152)。ここで、連続イベントであるか、「連続イベント」であるかは「ランニングステータス」であるかを判定する。ランニングステータスに「連続イベント」である場合は、図示省略16は示すように、2番目以降のイベントはイベントフラグが省略された「ランニングイベントブロック内では、図示省略16は示すように、2番目以降のイベントはイベントフラグが省略された「ランニングステータス」状態で記録されている。

ステップS148で、読み出しされている。
イベントブロック内で、読み出しされている。
データS1状態では、読み出しされている。
[0082]F[k]が「通常イベント」である場合には、処理イベントの連続イベントブロック内における順番を示す変数mを「0」にセットし、ステップS153、次いでチャネルマップを参照してSMFのステータスバイトを作成し出力する(ステップS154)。さらにイベントの種類に応じて必要なバイト数をコントローラ符号領域から読み出し、この読み出した値をmに設定する(ステップS155)。
[0083]F[k]が「連続イベント」である場合には、連続イベントブロック内における順番を示す変数mを「1」にセットし、ステップS156、次いでチャネルマップを参照してSMFのステータスバイトを作成し出力する(ステップS157)。なお、m≥2の場合のステータスバイトはmが「1」の場合のステータスバイトを利用する。そして、この「連続イベント」の場合には、パラメータ符号_[m]を読み出し、圧縮処理と同じ関数h₀を使い、(14)式に従ってSMFのパラメータp_[m]を作成し、出力する(ステップS158)。

【0084】

【数9】 $a_{m+1} = a_m + a_{m-1} \quad (m \geq 1)$

$$p[m] = h(p[m-1], p[m])$$
$$p[m] = \text{„}[m] \text{ (} m \leq U \text{)}$$

…は開数 b_0 の変数の個数 …(14)

ただし、Uは関数 $h(m)$ の複数の出力値である場合には、変数 m の値をフェーズシフトする必要がある。例えば、「ランニングステータス」である場合には、変数 m の値をフェーズシフトすれば m を1つインクリメントし(ステップS160)、「連続イベント」側のステップS157に進む。他方、 m が「0」であれば「通常イベント」側のステップS154に進む。

図の説明

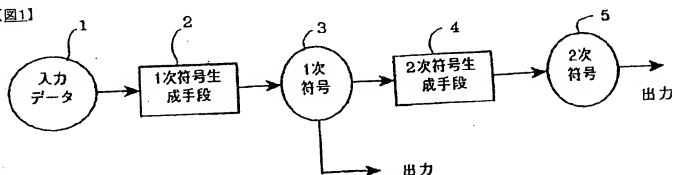
- 【図面の簡単な説明】
- 【図1】本発明に係る演奏情報圧縮装置の一例を示すブロック図である。
 - 【図2】図1の1次符号生成手段の一例を詳細に示すブロック図である。
 - 【図3】図2のチャネル分離手段により作成されるチャネルマップを示す説明図である。
 - 【図4】図2の解析手段の処理を説明するためのフローチャートである。
 - 【図5】図2の解析手段により作成されるノートテーブルを示す説明図である。
 - 【図6】図2の解析手段により作成されるコントローラテーブルを示す説明図である。
 - 【図7】音符を表現するSMFの、タイムと本実施例のデューレーションの関係を示す説明図である。
 - 【図8】図2のノート、符号生成手段の処理を説明するためのフローチャートである。
 - 【図9】図2のノート、符号生成手段により生成されるノート、符号を示す説明図である。
 - 【図10】図2のデューレーション符号生成手段の処理を説明するためのフローチャートである。
 - 【図11】図2のデューレーション符号生成手段により生成されるデューレーション符号を示す説明図である。
 - 【図12】図2のノートナンバ符号生成手段により生成されるノートナンバ符号を示す説明図である。
 - 【図13】図2のペロシティ符号生成手段により生成されるペロシティ符号を示す説明図である。
 - 【図14】図2のコントローラ符号生成手段により生成されるコントローラ符号を示す説明図である。
 - 【図15】SMFの連続イベントブロックを示す説明図である。
 - 【図16】本実施例の連続イベントブロックの効果を示す説明図である。
 - 【図17】図16の連続イベントブロックの効果を示す説明図である。
 - 【図18】図2の符号配置手段により並べ替えられた1次符号を示す説明図である。
 - 【図19】図2の符号マップを示す説明図である。
 - 【図20】SMFのフォーマットを示すブロック図である。
 - 【図21】演奏情報復号装置を示すブロック図である。
 - 【図22】図20の2次符号復号手段の処理を説明するためのフローチャートである。
 - 【図23】図20の1次符号復号手段の処理を説明するためのフローチャートである。
 - 【図24】図22のトラック復号処理を詳しく説明するためのフローチャートである。
 - 【図25】図23のノートイベント復号処理を詳しく説明するためのフローチャートである。
 - 【図26】図24のノートイベント復号処理により復元されたノートオンイベントを示す説明図である。
 - 【図27】図24のノートイベント復号処理により復元されたノートオフキューを示す説明図である。
 - 【図28】図23のコントローライベント復号処理を詳しく説明するためのフローチャートである。
 - 【図29】図27の処理により復元されたコントローライベントを示す説明図である。

【符号の説明】

- 1 入力データ
- 2 1次符号生成手段
- 3 1次符号
- 4 2次符号生成手段
- 5 2次符号
- 11 チャネル分離手段
- 12 解析手段
- 13 ノート、符号生成手段
- 14 コントローラ、符号生成手段
- 15 デューレーション符号生成手段
- 16 ノートナンバ符号生成手段
- 17 ペロシティ符号生成手段
- 18 コントローラ符号生成手段
- 19 符号配置手段
- 21 入力データ
- 22 スイッチ
- 23 2次符号復号手段
- 24 1次符号復号手段
- 25 出力データ
- 26 制御手段

図面

【図1】

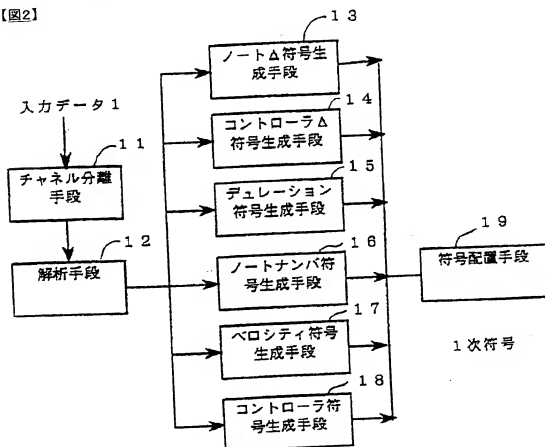


【図25】

ノートオンイベント

Δタイム	ステータス (the hand)	ノートナンバ	ペロシティ
------	---------------------	--------	-------

【図2】



【図3】

チャネルマップ

トラック	チャネル番号
1	2
2	3
3	5
4	1

【図5】

ノートテーブル

	時間	ノート ナンバ	ペロシティ	デュレー ション	ノートオフ 秒数	ΔT
ノート1	480	60	80	240	1	
ノート2	640	62	80		0	
ノートNA						

【図6】

コントローラテーブル

	時間	データ
イベント1		
イベント2		
イベントNB		

【図7】

SMF

Δ タイム (可変長)	}	ノートオン イベント
ノートオンステータス(1バイト)		
ノートナンバ (1バイト)		
ペロシティ (1バイト)	}	デュレー ションに 相当
Δ タイム (可変長)		
ノートオフステータス(1バイト)		
ノートナンバ (1バイト)	}	ノートオフ イベント
ペロシティ (1バイト)		

【図9】

ノート Δ 符号

ΔT_0
$\Delta T_{n[1]}$
$\Delta T_{n[2]}$
$\Delta T_{n[NA]}$

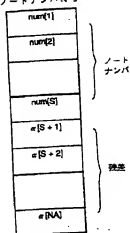
【図11】

デュレーション符号

D_0
$D_{n[1]}$
$D_{n[2]}$
$D_{n[NA]}$

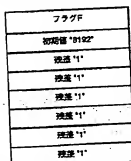
【図12】

ノートナンバ符号

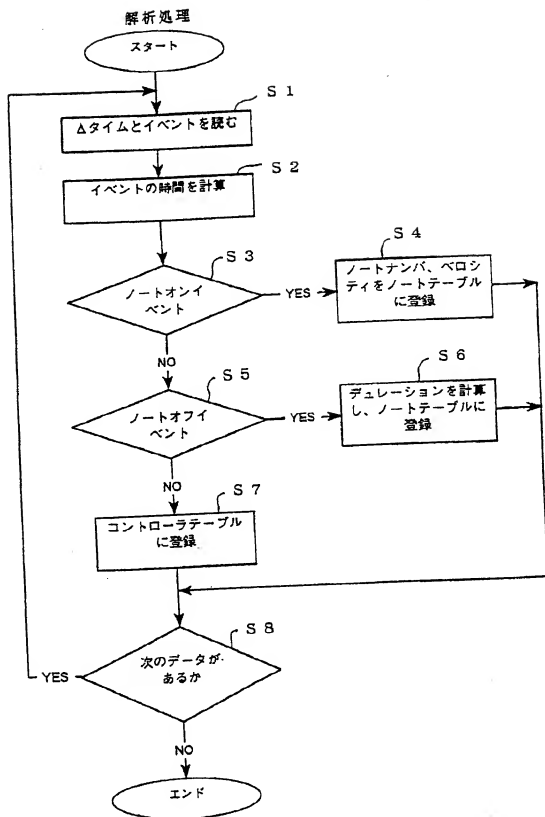


【図17】

コントローラ符号

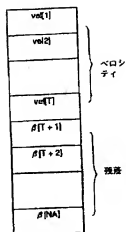


【図4】



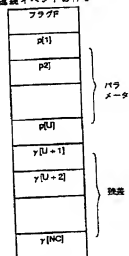
【図13】

ベロシティ符号

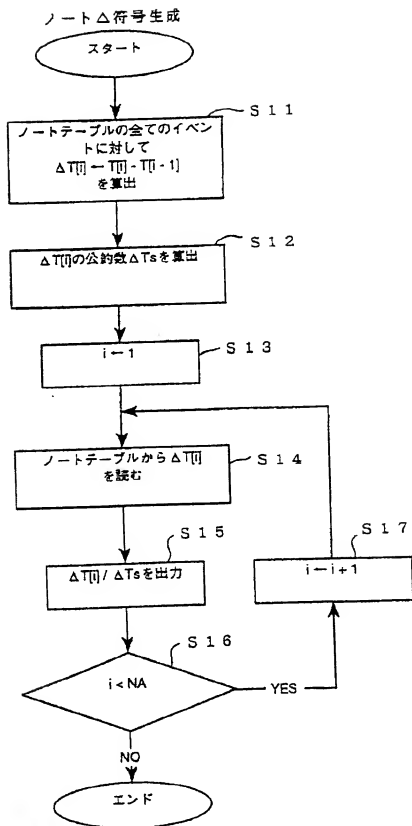


【図16】

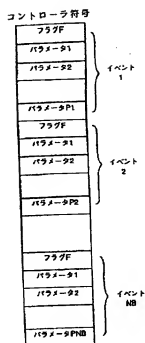
連続イベントの符号



【図8】



【図14】

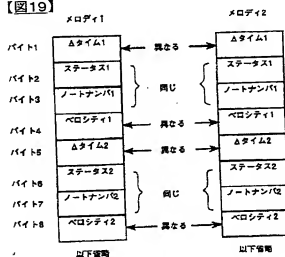


【図15】

連続イベントブロック

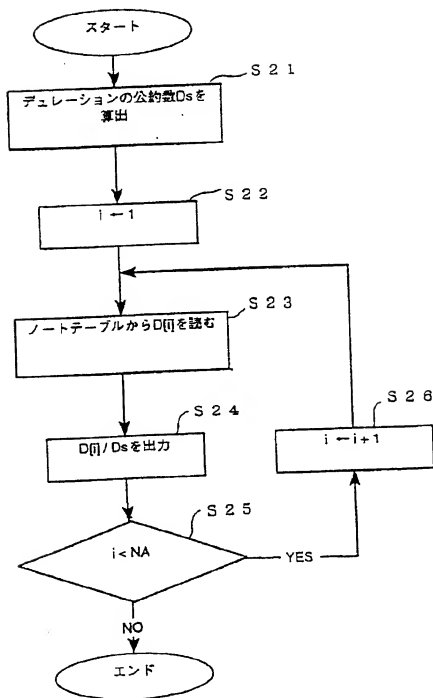
Δタイム	ステータス	パラメータ
10	224(ピッチホイールチェンジ)	8192
20	224(ピッチホイールチェンジ)	8193
20	224(ピッチホイールチェンジ)	8194
10	224(ピッチホイールチェンジ)	8195
30	224(ピッチホイールチェンジ)	8196
10	224(ピッチホイールチェンジ)	8197
20	224(ピッチホイールチェンジ)	8198

【図19】

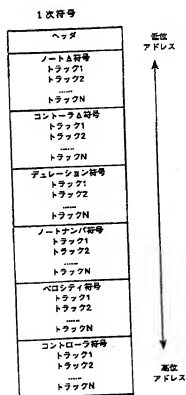


【図10】

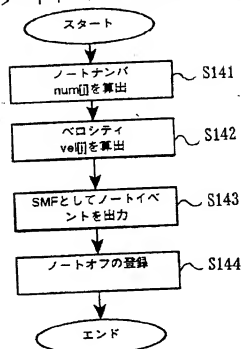
デューレーション符号生成



【図18】



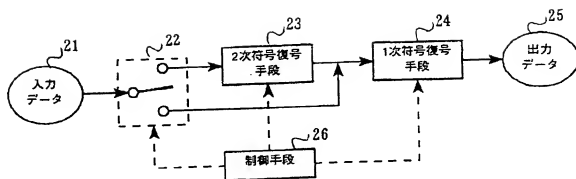
【図24】
ノートイベント復号処理



【図26】
ノートオフキュー

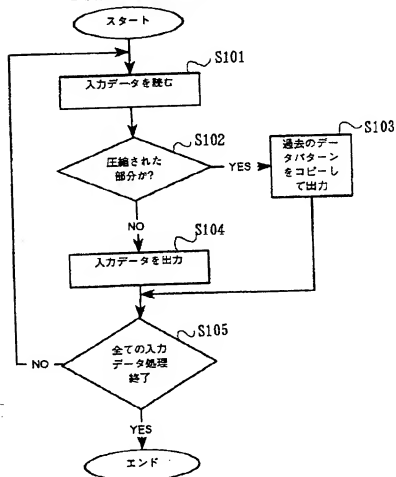
	Id	ノートナンバ
エントリ1	1000	54
エントリ2	1100	54

【図20】



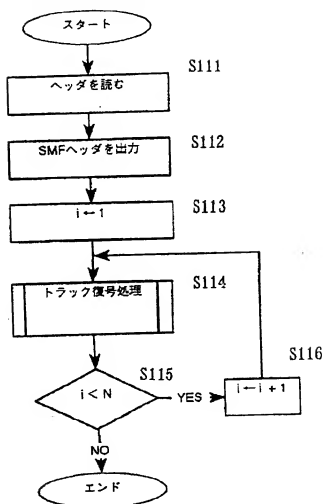
【図21】

2次符号復号処理



【図22】

1 次符号復号処理

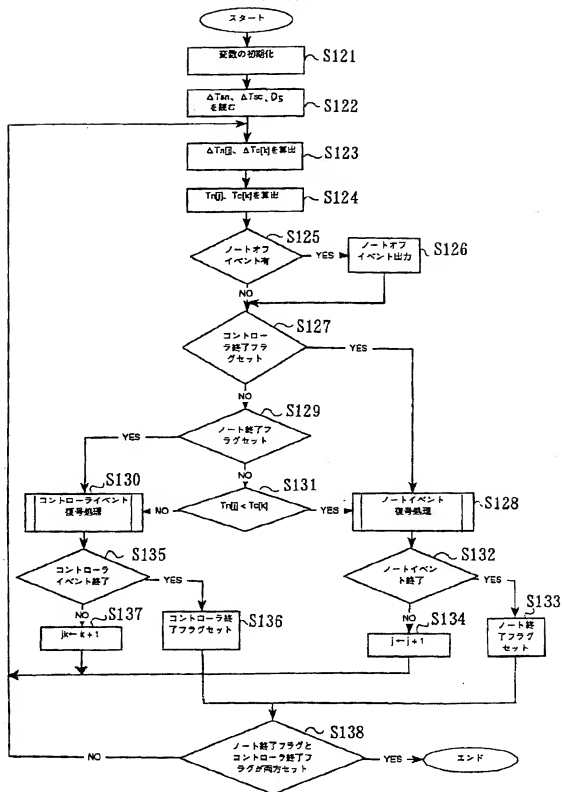


【図28】
コントローライベント

Δタイム	ステータス	パラメータ

【図23】

トラック復号処理



【図27】

コントローライベント復号処理

